

ПРИНЦИПЫ РЕАЛИЗАЦИИ НЕСИММЕТРИЧНЫХ КАСКАДНЫХ МНОГОУРОВНЕВЫХ ПРЕОБРАЗОВАТЕЛЕЙ ЧАСТОТЫ

Шавелкин А.А., Уланов Р.В.

Донецкий национальный технический университет

Sha@dtgu.donetsk.ua

В настоящее время все большее применение в регулируемом электроприводе переменного тока большой мощности среднего напряжения (6кВ) находят каскадные многоуровневые преобразователи частоты (КМПЧ), которые обеспечивают наилучшие показатели вход-выход. При этом близкий к стандарту гармонический состав выходного напряжения фазы КМПЧ обеспечивается суммированием напряжений n (при напряжении 6кВ $n=5$ или 6) последовательно соединенных однофазных автономных инверторов напряжения (АИН) с изолированными источниками постоянного тока (ИПТ). ИПТ – трехфазный выпрямитель, питающийся от отдельного комплекта вторичных обмоток многообмоточного входного трансформатора. Использование ИПТ с одинаковыми напряжениями в сочетании с мультиплексорной ШИМ, когда все АИН в фазе работают идентично, обеспечивает равномерную загрузку источников. При многофазной эквивалентной схеме выпрямления достигается эффективное подавление во входном токе высокочастотных гармоник и субгармоник. Сложность схемы КМПЧ обуславливает высокую его стоимость. Большое количество ключей в инверторном блоке приводит к значительным потерям на нагрев.

Вопросы минимизации силовых цепей КМПЧ в последнее время связывают [1-3] с использованием принципа несимметрии. Несимметричные КМПЧ используют ИПТ с различными, кратными минимальному значению, напряжениями. Это позволяет уменьшить количество АИН на фазу до 3 и, соответственно, количество ключей в инверторном блоке практически вдвое. Количество уровней в полуволне выходного напряжения фазы при максимальной амплитуде $n=(U_1+U_2+U_3)/U_1$, где: U_1 – минимальное напряжение. Использование таких решений стало реальным с появлением полупроводниковых ключей на достаточно высокие напряжения (5.5кВ). Вместе с тем, использование различных напряжений предполагает решение ряда проблем, которые должны рассматриваться в комплексе. Это касается как выбора соотношения напряжений и соответствующего принципа формирования выходного напряжения, так и структуры звена постоянного тока с заданием загрузки и режима работы ИПТ, при сохранении качества входного тока КМПЧ. Вопросы взаимосвязанные и практически не нашли отражения в публикациях. Без их решения практическая реализация несимметричных КМПЧ затруднительна.

Цель работы: исследование принципов реализации КМПЧ с несимметрией напряжений с позиции минимизации схемных решений при сохранении характеристик вход-выход.

При этом необходимо решить ряд взаимосвязанных вопросов: исследовать принципы формирования выходного напряжения в зависимости от соотношения напряжений ИПТ и количества уровней напряжения; исследовать загрузку и режимы работы ИПТ, а также принципы воздействия на их работу; определить структуру звена постоянного тока для эффективного подавления гармоник входного тока.

Основные результаты работы. Процесс формирования выходного напряжения при разных напряжениях ИПТ предполагает использование различных их комбинаций (сложение, вычитание). При этом источники имеют различную нагрузку, в том числе и по продолжительности. И сразу же возникает вопрос, как реализовать ИПТ с разными напряжениями. Использование различных напряжений вторичных обмоток трансформатора позволяет упростить структуру звена постоянного тока – уменьшить количество обмоток и выпрямителей. Однако, если не применять выпрямители с активным формированием входного тока, такой вариант отпадает (в обычных применениях КМПЧ без рекуперации энергии в сеть используются выпрямители на диодах). При различной загрузке ИПТ они должны обеспечивать независимо друг от друга потребление синусоидального тока с эффективным подавлением высших и субгармонических составляющих. Это возможно при использовании составных многофазных схем выпрямления [4] с последовательным соединением выпрямителей, количество их определяется кратностью напряжений ИПТ. Таким образом, структура звена постоянного тока в целом сохраняется, и минимизация силовых цепей КМПЧ касается только инверторного блока. Открытым остается вопрос с ИПТ, напряжение которого минимально. Также следует исключить изменение направления передачи энергии ИПТ.

Рассмотрим вопрос минимизации существующих технических решений КМПЧ фирм ASIRobicon (серия «Perfect Harmony», «New Baby Harmony») и Toshiba Mitsubishi Electric («TMdrive – MV») на напряжение 6кВ. КМПЧ идентичны по характеристикам, количество АИН на фазу, соответственно, 5 и 6. При этом инверторный блок включает в себя 60 и 72 IGBT. Сохранение качества выходного напряжения при 3 АИН на фазу предполагает использование соотношений напряжений ИПТ $U_1:U_2:U_3=1:1:3$ ($n=5$) и $U_1:U_2:U_3=1:2:3$ ($n=6$).

Соотношение $U_1:U_2:U_3=1:1:3$. Сохранение характеристик КМПЧ позволяет обеспечить управление с использованием мультиплексорной ШИМ для первых двух ИПТ (рис.1). Заданное напряжение $u_{3\text{ад}}$ с амплитудой A формируется как сумма напряжений u_3 третьего ИПТ (включается при $A>2$) и $u_O=(u_1+u_2)=(u_{3\text{ад}}-u_3)$, которое отрабатывается методом ШИМ из напряжений источников U_1 и U_2 (используется система относительных единиц - $U_1=U_2=1$). При этом нагрузка на U_1 и U_2 делится пополам. Активная мощность, потребляемая от ИПТ, определяется первой гармоникой выходного напряжения соответствующего АИН. Т.е. нагрузка источников распределяется в соответствии со значениями первой гармоники выходного напряжения соответствующих инверторов. Амплитуда первой гармоники u_3 :

$$U_{3m(1)} = \frac{3 \cdot 4}{\pi} \sin(\alpha \frac{\pi}{2}), \text{ где: } \alpha = \frac{\pi - 2\theta_1}{\pi}, \theta_1 = \arcsin \frac{2}{A}.$$

Тогда амплитуда первой гармоники u_O :

$$U_{om(1)} = A - U_{3m(1)}.$$

Анализ зависимости амплитуды первых гармоник напряжений u_3 и u_O от амплитуды A фазного напряжения МПЧ показал, что ИПТ работают с передачей мощности в нагрузку во всем диапазоне A . При $0 \leq A < 2$ функции формирования выходного напряжения выполняются инверторами с источниками U_1 и U_2 , при этом $u_{o(1)}=A$.

Некоторые особенности имеет реализация ШИМ для источников U_1 и U_2 . Соответствующие АИН работают в режиме однополярной ШИМ. Для них используются двухполарные модулирующие напряжения треугольной формы, сдвинутые друг относительно друга на четверть периода. За счет этого эффективная частота коммутации напряжения в 4 раза больше частоты модулирующего напряжения. Структура звена постоянного тока при этом следующая: выпрямители ИПТ1 и ИПТ2 образуют 12ти-фазную схему выпрямления, ИПТ3 содержит три последовательно соединенных выпрямителя, образуя 18ти-фазную схему выпрямления.

Соотношение $U_1:U_2:U_3=1:2:3$. В данном случае возникает проблема с первым ИПТ. Исключить его искажающее влияние на входной ток в диапазоне регулирования амплитуды выходного напряжения A от 1 до 6 (о. е.) можно если обеспечить режим его работы с минимальной передаваемой активной мощностью ($P_1 \rightarrow 0$), т.е. перераспределением его нагрузки на два других ИПТ. Необходимость регулирования его загрузки следует также из соображений, речь о которых пойдет ниже.

Для формирования выходного напряжения фазы КМПЧ наиболее просто реализуется квантование заданной синусоиды по уровню с отработкой ошибки квантования методом ШИМ [3]. Данный принцип иллюстрирует рис.2, где заданное напряжение $u_{3\text{ад}}$ аппроксимируется ступенчатой кривой, а разница между ними u_1 – ошибка квантования. Ступенчатая кривая формируется из напряжений U_2 и U_3 , ошибка квантования отрабатывается методом ПИМ из напряжения U_1 . При этом u_1 периодически изменяет знак, что не исключает изменение направления передаваемой АИН1 мощности.

Следует отметить, что возможны и другие варианты, например, если на интервале (θ_1, θ_2) использовать напряжения U_1 и U_2 , а на интервале (θ_2, θ_3) напряжения U_2 и U_3 при регулировании напряжений обоих источников методом ШИМ, но в этом случае отсутствует возможность регулирования $U_{1m(1)}$. Анализ загрузки ИПТ исходя из значения амплитуд первых гармоник выходного напряжения АИН. Напряжения АИН2 и АИН3 имеют прямоугольную форму, для них можно использовать стандартное разложение в ряд Фурье. Тогда в соответствии с рис.2:

$$U_{2m(1)} = \frac{2 \cdot 4}{\pi} (\sin(\alpha_1 \frac{\pi}{2}) - \sin(\alpha_2 \frac{\pi}{2}) + \sin(\alpha_3 \frac{\pi}{2})), \quad U_{3m(1)} = \frac{3 \cdot 4}{\pi} \sin(\alpha_2 \frac{\pi}{2}), \quad U_{1m(1)} = A - U_{2m(1)} - U_{3m(1)}$$

где: $\alpha_1, \alpha_2, \alpha_3$ – углы соответствующие уровням квантования (в о.е.) $U_{KIN1}=1, U_{KIN2}=3, U_{KIN3}=4$ (см. рис.2).

Зависимости первых гармоник напряжений АИН фазы МПЧ в функции A приведены на рис.3. В диапазонах значений амплитуды выходного напряжения $A=(1.11-2.3)$ и $A=(4.2-5.2)$ $U_{1m(1)}$ принимает отрицательные значения, что недопустимо и предполагает определенные корректировки алгоритма управления с перераспределением.

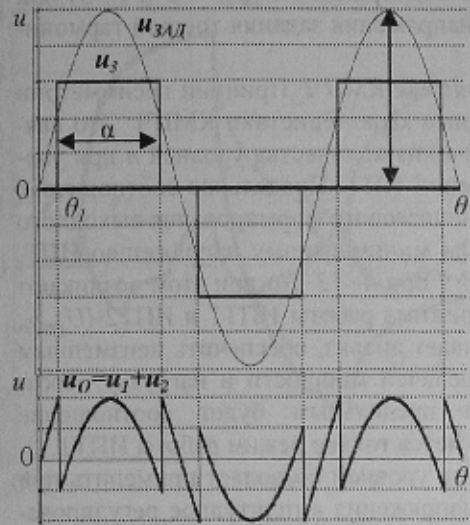


Рисунок 1 – Принцип квантования

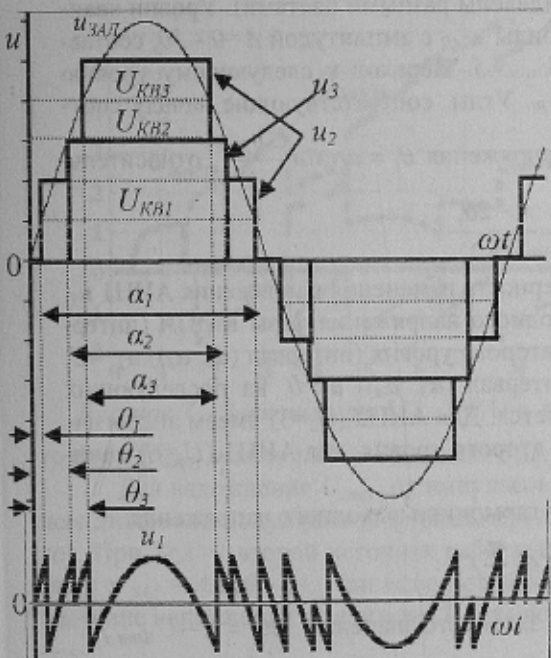


Рисунок 2 – Принцип квантования

делением загрузки источников. Исследования подтвердили возможность поддержания $U_{Im(1)} \rightarrow 0$ ($P_i \rightarrow 0$) при регулировании уровня квантования U_{KB2} и предварительной модуляции напряжения задания третьей гармоники $u_{3M} = A \sin \theta + A_3 \sin 3\theta$. Полученные зависимости приведены на рис.4.

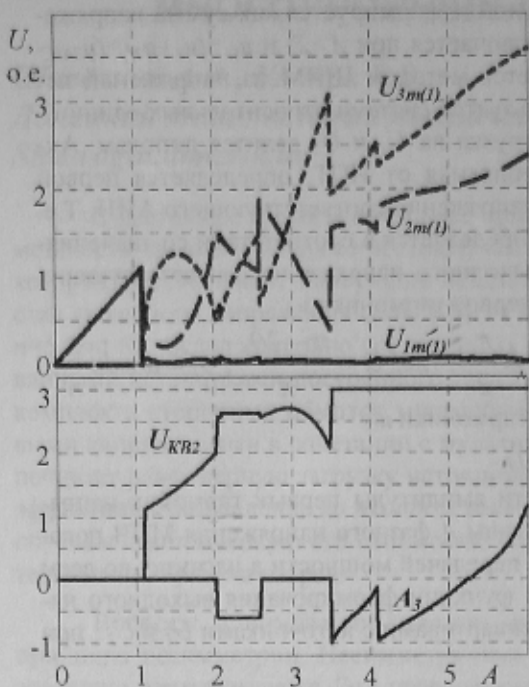


Рисунок 4 – Зависимости параметров КМПЧ в функции от A

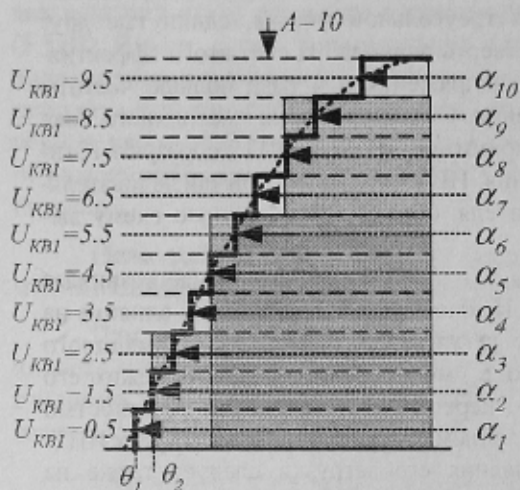


Рисунок 5 – Квантование с усреднением

Однако спектр гармоник при снижении амплитуды выходного напряжения смещается в область низких частот. Поэтому следует оценить значение низкочастотных гармоник. Амплитуда пятой и седьмой гармоник выходного напряжения:

$$U_{\Phi m(5)} = \frac{4}{5\pi} \sum \sin(5\alpha_i \frac{\pi}{2}),$$

$$U_{\Phi m(7)} = \frac{4}{7\pi} \sum \sin(7\alpha_i \frac{\pi}{2}).$$

Расчеты показывают, что при $A < 3$ относительное значение амплитуды 5ой и 7ой гармоник превышает 3%, что нежелательно. Оценим загрузку источников при амплитудном регулировании. При прямоугольной форме выходного напряжения каждого из трех АИН значения амплитуды первой гармоники для них составляют:

$$U_{Im(1)} = \frac{4}{\pi} [(\sin(\alpha_1 \frac{\pi}{2}) - 2 \sin(\alpha_2 \frac{\pi}{2}) + \sin(\alpha_3 \frac{\pi}{2})) + (\sin(\alpha_4 \frac{\pi}{2}) - 2 \sin(\alpha_5 \frac{\pi}{2}) + \sin(\alpha_6 \frac{\pi}{2})) + \dots],$$

$$U_{2m(1)} = \frac{3 \cdot 4}{\pi} [\sin(\alpha_2 \frac{\pi}{2}) - \sin(\alpha_5 \frac{\pi}{2}) + \sin(\alpha_8 \frac{\pi}{2})], \quad U_{3m(1)} = \frac{6 \cdot 4}{\pi} \sin(\alpha_5 \frac{\pi}{2}).$$

Улучшение характеристик КМПЧ. Принцип несимметрии позволяет улучшить выходные характеристики КМПЧ. Это связано с возможностью увеличения количества уровней n при увеличении кратности напряжений ИПТ. Предельное соотношение, из условия обеспечения равнотактового формирования выходного напряжения с шагом равным минимальному напряжению ИПТ, составляет [3] $U_1:U_2:U_3=1:3:9$ при $n=13$. Но при этом возникают проблемы с обеспечением режима работы ИПТ1 и ИПТ2 ($U_{Im(1)}, U_{2m(1)}$ на рис.6). Как показывает анализ, обеспечить неизменным режим работы ИПТ2 с передачей мощности в нагрузку невозможно. С этой позиции предельным будет соотношение $U_1:U_2:U_3=1:3:6$, когда изменяется только режим работы ИПТ1.

Увеличение количества уровней позволяет применить при формировании выходного напряжения амплитудное регулирование. Принцип квантования с усреднением [3] иллюстрирует рис.4 для соотношения напряжений ИПТ $U_1:U_2:U_3=1:3:6$ (напряжения U_1, U_2, U_3 , из которых осуществляется выходное напряжение ваты КМПЧ u_ϕ на рис.4 выделены разными цветами). Уровни квантования заданной синусоиды u_{3M} с амплитудой $A=0 - 10$, составляют: $U_{KB1}=0.5, 1.5, 2.5, \dots, 9.5$. Переход к следующему уровню происходит при $u_{3M} \geq U_{KB1}$. Углы, соответствующие началу соот-

ветствующей ступени напряжения $\theta_i = \arcsin \frac{U_{KB1}}{A}$, относительная ее длительность $\alpha_i = \frac{\pi - 2\theta_i}{\pi}$.

Отметим закономерность изменения напряжения АИН1 u_1 : для первого уровня выходного напряжения фазы КМПЧ (интервал (α_1, α_2)) $u_1=+U$, для второго уровня (интервал (α_2, α_3)) $u_1=-U$, для третьего уровня (интервал (α_3, α_4)) $u_1=0$, на последующих уровнях картина повторяется. Для АИН2 ($U_2=3$) имеем аналогичную картину начиная со второго уровня, для АИН3 ($U_3=6$) начиная с 5=(2+3) уровня.

Амплитуда первой гармоники выходного напряжения:

$$U_{\Phi m(1)} = \frac{4}{\pi} \sum \sin(\alpha_i \frac{\pi}{2}).$$

Ошибка отработки заданного значения: $\Delta U = A - U_{\Phi m(1)}$.

При $A > 4$ ошибка не превышает 5%, с уменьшением амплитуды ошибка увеличивается. Как показывает анализ при амплитудном регулировании коэффициент гармоник напряжения (THD) ниже, чем при использовании ПИМ.

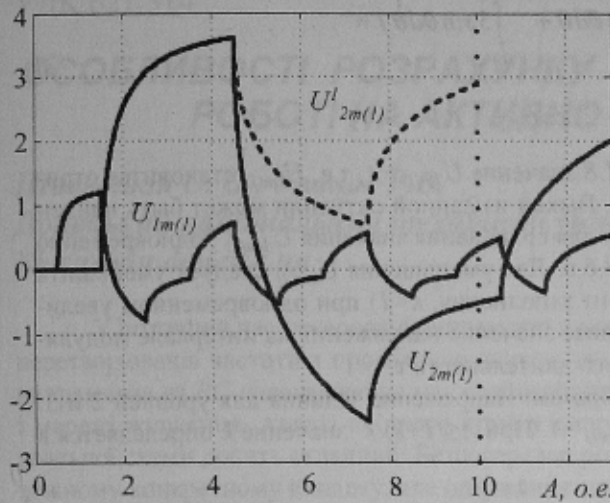


Рисунок 6 – Зависимости $U_{lm(l)} = f(A)$

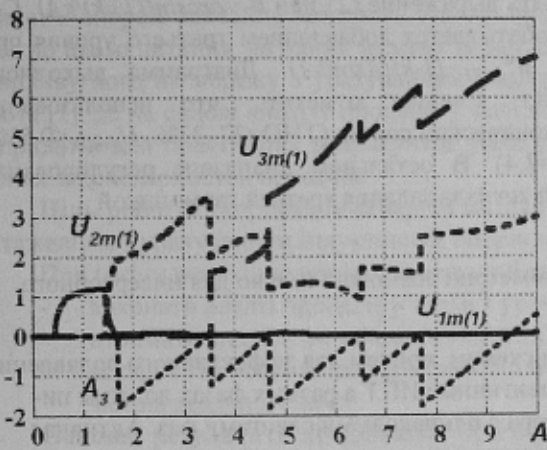


Рисунок 7 – Зависимости $U_{1m(l)} = f(A)$ и $A_3 = f(A)$

Изменение напряжения $U_{2m(l)}$ можно найти $U_{1m(l)}$ как: $U_{1m(l)} = A - U_{2m(l)}$.

Для нахождения $U_{2m(l)}$ от импульсов перейдем к непрерывной функции $u_{2CP}(t)$, значение которой на каждом интервале модуляции (T_M) равно среднему значению и определяется коэффициентом заполнения импульсов. При $2 \geq A > 1$ второй источник работает на интервале $(\theta_1, (\pi - \theta_1))$, $\theta_1 = \arcsin(1/A)$, u_{TP2} сравнивается по уровню с $u'_{3AL} = (A \sin \theta - 1)$. При использовании относительных единиц $u_{2CP}(t) = 3(A \sin \theta - 1)$, где: 3 – относительное значение напряжения второго ИПТ. Для полученной функции амплитуда первой гармоники:

$$U_{2m(l)} = \frac{1}{\pi} \int_0^{2\pi} 3(A \sin \theta - 1) \sin \theta d\theta = \frac{2 \cdot 3}{\pi} \left[\frac{A}{2} ((\pi - 2\theta_1) + \sin 2\theta_1) - 2 \cos \theta_1 \right]. \quad (1)$$

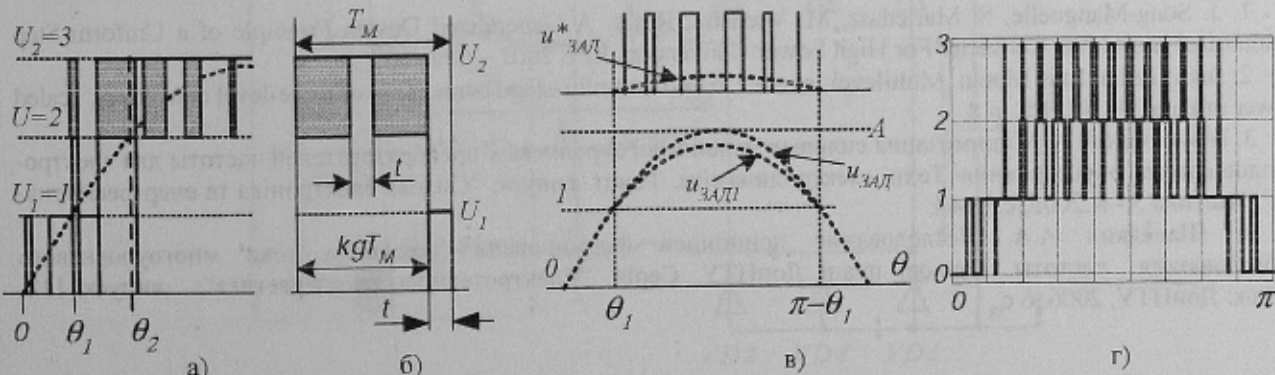


Рисунок 8 – Принцип формирования выходного напряжения с использованием ШИМ

При $3 > A > 2$ ИПТ2 работает в режиме ШИМ на интервале $(\theta_1, (\pi - \theta_1))$ значение $u_{2CP}(t) = 3(A \sin \theta - 1)$, на интервале $(\theta_2, (\pi - \theta_2))$ источник постоянно включен – значение $u_{2CP}(t) = 3$, $\theta_1 = \arcsin(1/A)$, $\theta_2 = \arcsin(2/A)$. Отсюда:

$$U_{2m(1)} = \frac{2}{\pi} \int_{\theta_1}^{\theta_2} [3(A \sin \theta - 1) \sin \theta d\theta + \int_{\pi-\theta_2}^{\pi-\theta_1} 3(A \sin \theta - 1) \sin \theta d\theta + \int_{\theta_2}^{\pi-\theta_2} 3 \sin \theta d\theta] = \\ = \frac{2 \cdot 3}{\pi} \left[\left(\frac{A}{2} (2(\theta_2 - \theta_1) + \sin(2\theta_1) - \sin(2\theta_2)) + 4 \cos \theta_2 - 2 \cos \theta_1 \right) \right]. \quad (2)$$

Анализ полученных выражений показывает, что при $A > 1,8$ значение $U_{2m(1)} > A$, т.е. $U_{1m(1)}$ становится отрицательным и, соответственно, изменяется режим работы ИПТ1. Выход из данной ситуации может быть найден следующим образом. Уменьшаем значение $U_{2m(1)}$ до значения A , для сохранения значения $U_{\phi m(1)}$, одновременно следует увеличить $U_{1m(1)}$. Данный принцип иллюстрирует рис.8,б,в. Для уменьшения $U_{2m(1)}$ следует уменьшить продолжительность включения ИПТ2 ($k_y T_M$, где y - коэффициент заполнения, $k < 1$) при одновременном увеличении продолжительности включения ИПТ1 (τ). Сохранить среднее значение напряжения на интервале модуляции T_M можно добавив третий уровень напряжения при той же длительности τ .

Практическая реализация осуществляется следующим образом. Напряжение задания для уровней 2 и 3: $u_{3,4,5}=k(A \sin \theta - 1)$, где значение k рассчитывается из условия $U'_{2m(1)}=A$. При $A \leq (1+k)/k$ значение k определяется в соответствии с (1):

$$A = \frac{2 \cdot 3k}{\pi} \left[\frac{A}{2} ((\pi - 2\theta_1) + \sin 2\theta_1) - 2 \cos \theta_1 \right].$$

При $A > (1+k)/k$ аналогичным образом следует использовать выражение (2) при $\theta_2 = \arcsin((1+k)/kA)$. Соответственно, разница ($U_{2m(1)} - A$) на интервале ($\theta_1, (\pi - \theta_1)$) отрабатывается добавлением третьего уровня при нулевом значении напряжении АИН1. Задание при этом $u^*_{3,4,5}=(1-k)(A \sin \theta - 1)$. Диаграмма выходного напряжения фазы МПЧ при $A=2.2$ приведена на рис.8,г. Следует отметить, что использование модифицированного алгоритма ШИМ несколько ухудшает гармонический состав (THD=27–33%, $U_{\phi m(5)} \leq 0,5\%$). Поэтому, его использование ограничено диапазоном $A=(1.8-2.4)$. В остальном диапазоне регулирование значения $U_{1m(1)} \rightarrow 0$ обеспечивается предварительной модуляцией сигнала задания третьей гармоникой.

Выводы:

- Минимизация КМПЧ при использовании принципа несимметрии возможна только для инверторного блока.
- Источники постоянного тока выполняются по составным схемам, причем для эффективного подавления постоянной и субгармонических составляющих входного тока идентичные ИПТ в разных фазах должны пытаться от комплектов вторичных обмоток входного трансформатора с одинаковыми сдвигами фаз. Активная мощность ИПТ минимальной кратности должна быть сведена к минимуму.
- Каждому соотношению напряжений ИПТ в фазе КМПЧ соответствует определенный алгоритм управления и структура звена постоянного тока.
- Исключение циркуляции энергии в схеме КМПЧ возможно при ограничении соотношения напряжений ИПТ значением $U_1:U_2:U_3=1:3:6$ и использовании предложенных алгоритмов.
- Наилучшие возможности улучшения выходных характеристик КМПЧ достигаются при соотношении $U_1:U_2:U_3=1:3:6$ с комбинированным формированием выходного напряжения. Однако реализация предполагает некоторое усложнение звена постоянного тока.

ЛИТЕРАТУРА

1. J. Song-Manguelle, S. Mariethoz, M. Veenstra, Rufer. A Generalized Design Principle of a Uniform Step Asymmetrical Multilevel Converter For High Power Conversion. EPE 2001 – Graz.
2. Juan Dixon, Luis Morán. Multilevel inverter, based on multi-stage connection of three-level converters, scaled in power of three. 2003 IEEE, p.8.
3. Шавелкин А.А. Минимизация силовых цепей многоуровневых преобразователей частоты для электроприводов среднего напряжения/ Техн. електродинаміка. Темат. випуск. "Силова електроніка та енергоефективність", Частина 3.- К.2005, с.38-44.
4. Шавелкин А.А. Исследование принципов формирования входного тока многоуровневого преобразователя частоты. Наукові праці ДонНТУ. Серія: "Електротехніка та енергетика", випуск 112: Донецьк: ДонНТУ, 2006, 6 с.